

©1995

## РАСПРОСТРАНЕНИЕ НЕРАВНОВЕСНЫХ ФОНОНОВ В КЕРАМИКАХ НА ОСНОВЕ КОРУНДА

*С.Н.Иванов, А.В.Таранов, Е.Н.Хазанов*

Институт радиотехники и электроники Российской академии наук,  
103907, Москва, Россия  
(Поступила в Редакцию 16 января 1995 г.)

Исследованы процессы распространения слабо неравновесных фононов в ряде керамик на основе корунда. В предположении баллистического распространения фононов в пределах зерен керамики проанализированы температурные характеристики рассеяния фононов в зависимости от характера межзеренных границ.

В [<sup>1</sup>] нами предложена и реализована модель распространения слабо неравновесных фононов при гелиевых температурах для анализа механизмов их движения в однофазных керамических материалах, включая прохождение через границы зерен. Оказалось возможным по температурной зависимости максимума отклика болометра при работе по схеме тепловых импульсов [<sup>2</sup>] оценить механизм рассеяния при прохождении фонона из зерна в зерно, а также эффективную площадь границ между зернами.

В настоящей работе исследуется ряд широко используемых в промышленности однофазных керамик на базе корунда ( $\text{Al}_2\text{O}_3$ ). Корундовые керамики можно рассматривать как модельный материал для наших исследований. В  $\text{Al}_2\text{O}_3$  при гелиевых температурах длина свободного пробега фононов велика: в монокристаллах  $l \geq 1 \text{ см}$ , что намного больше характерного размера зерна керамики  $R \cong 10^{-3} \text{ см}$ , а условие  $l \gg R$  является основным для одного из вариантов теории [<sup>1</sup>], когда движение фонона внутри зерна баллистическое с отражением от его поверхности и прохождением из зерна в зерно через контактные границы.

Вместе с тем именно для керамик на базе корунда накоплен большой статистический материал по зависимости их физико-технических свойств от состава. Так, с повышением процентного содержания основного окисла в составе керамического изделия значительно повышается рабочая температура, улучшаются электрофизические свойства. Характеристики исследуемых в настоящей работе керамических материалов, взятые из [<sup>3</sup>], представлены в таблице. Анализ данных таблицы подтверждает отмеченные выше тенденции изменения параметров с ростом содержания основного окисла: растет, и очень значительно, теплопроводность; уменьшается температурный коэффициент линейного

Химический состав, коэффициент теплопроводности при 20°С ( $\kappa$ ), предел прочности при статическом изгибе ( $\sigma$ ) и температурный коэффициент линейного расширения ( $\alpha$ ) керамик BK94-1, BK98-1, BK100-1

Марка керамики	Химический состав, масс. %						$\kappa$ , W/m·K	$\sigma$ , MPa	$\alpha$ , $10^{-7}$ K $^{-1}$
	Al <sub>2</sub> O <sub>3</sub>	SiO <sub>2</sub>	Cr <sub>2</sub> O <sub>3</sub>	MnO	MgO	B <sub>2</sub> O <sub>3</sub>			
BK94-1 (22ХС)	94.4	2.76	0.47	2.35	—	—	14.8	314	62
BK98-1 (Сапфирит-16)	98	—	—	—	0.5	1.5	16.7	294	67
BK100-1 (поликор)	99.7	—	—	—	0.3	—	30	274	57

расширения; несколько уменьшается статическая прочность — материал становится ближе по своим свойствам к кристаллу.

Цель настоящей работы заключалась в исследовании динамики распространения теплового импульса в ряде керамик на основе корунда и установлении соответствия полученных нами результатов известным характеристикам этих материалов.

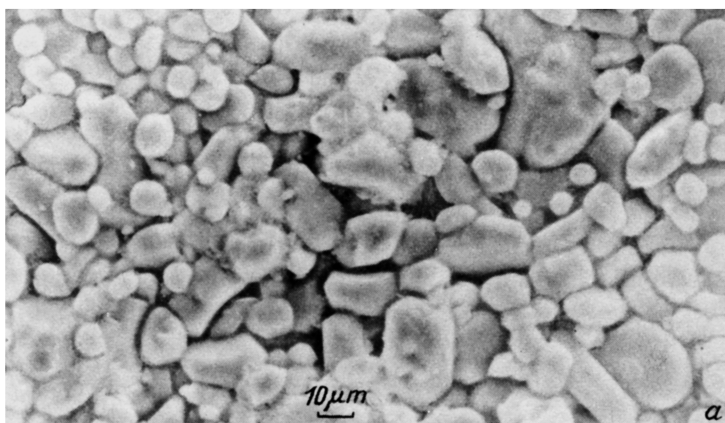
Методика эксперимента подробно изложена в [1]. Напомним, что на пластину исследуемого керамического материала напыляется с одной стороны золотая пленка, которая нагревается коротким импульсом тока и служит инжектором неравновесных фонондов в образец. На другую сторону пластины наносится болометр из Sn в форме меандра размером 0.3 × 0.25 mm. Интервал используемых температур составляет 1.7–3.8 K. Мощность, рассеиваемая на нагревателе, выбирается достаточно малой, так что  $\Delta T \ll T_0$  и инжектированным фононам при анализе экспериментальных результатов можно приписывать температуры терmostата.

Для каждого из исследуемых образцов керамики снимались микрографии, которые позволяли на качественном уровне дать характеристику «зернистости» образца и межзеренных границ. Эти снимки представлены в комплекте с кривыми распространения теплового импульса на рис. 1–3.

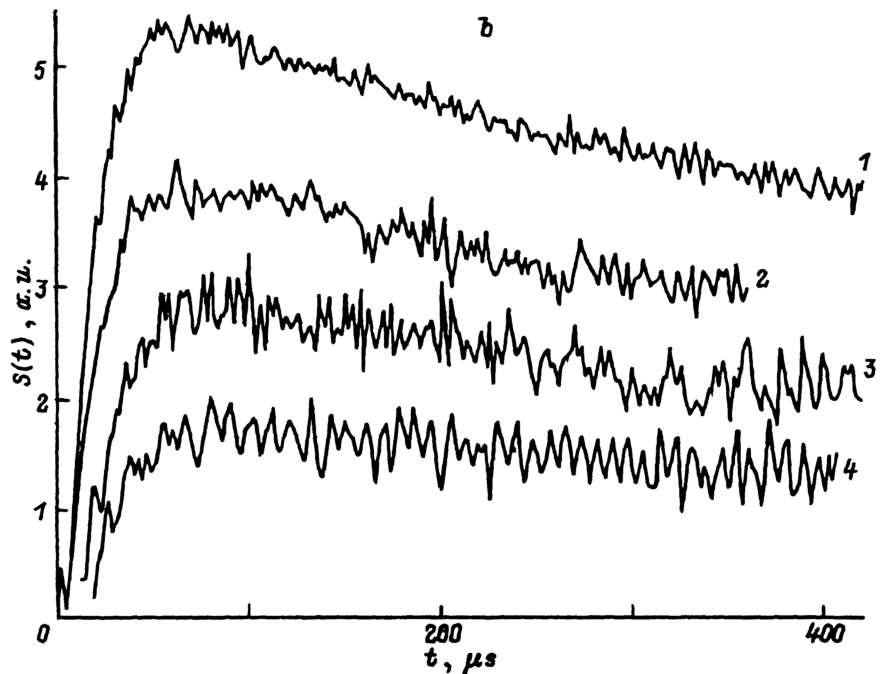
Проанализируем представленные экспериментальные результаты. Для керамики BK94-1 характерны четко выраженная зернистость структуры (рис. 1, а) и большие времена распространения теплового импульса по кристаллу (рис. 1, б). Зависимость прихода максимума сигнала от температуры характеризуется отрицательной производной  $dt_m/dT < 0$ . Такая зависимость, согласно [1], возможна при малых по площади контактах между зернами в керамике ( $\lambda_{ph} \geq r_0$ , где  $r_0$  — характерный размер перемычки), прохождение фононами межзеренных границ определяется дифракционными эффектами, т.е. чем больше частота фона (температура), тем быстрее поток фонондов достигает болометра. Проведем численные оценки. Согласно модели [1], время прихода максимума сигнала на болометр определяется следующим образом:

$$t_m \propto L^2/D_{ef}, \quad (1)$$

где  $L$  — размер исследуемой пластины в направлении потока фонондов, а  $D_{ef}$  — эффективный коэффициент дифузии. Предполагается,



*a*

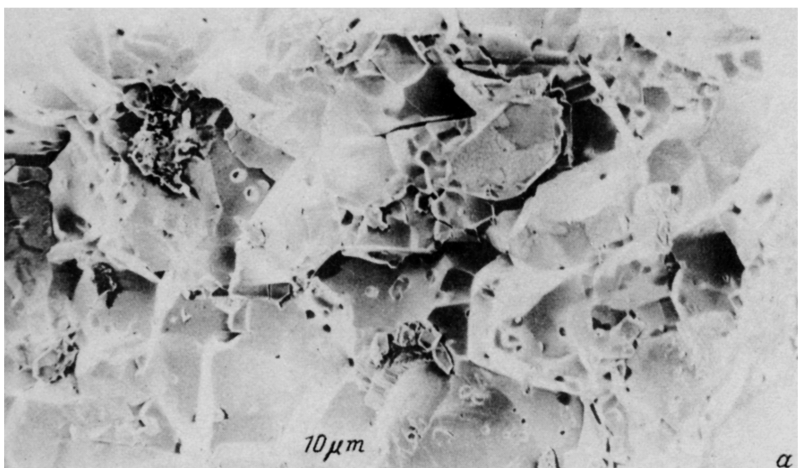


*b*

Рис. 1. а) Электронная фотография структуры образца рубиновой керамики ВК94-1 (22ХС) до механической обработки. б) Сигналы фононной неравновесности в образце  $L = 140 \mu\text{m}$ ,  $P < 10^{-1} \text{ W/mm}^2$ .  
 $T(\text{K})$ : 1 — 3.8, 2 — 3.65, 3 — 3.37, 4 — 3.13.

что внутри зерна керамики фонон движется баллистически и проводит там время  $t_0$ , что дает для эффективного коэффициента диффузии  $D_{\text{ef}} \propto R^2/t_0$ , где  $R$  — средний размер зерна керамики. Для времени  $t_0$  имеем

$$t_0 \propto \frac{R}{V_S} \frac{S}{\Sigma} \frac{1}{f_\omega}. \quad (2)$$



*б*

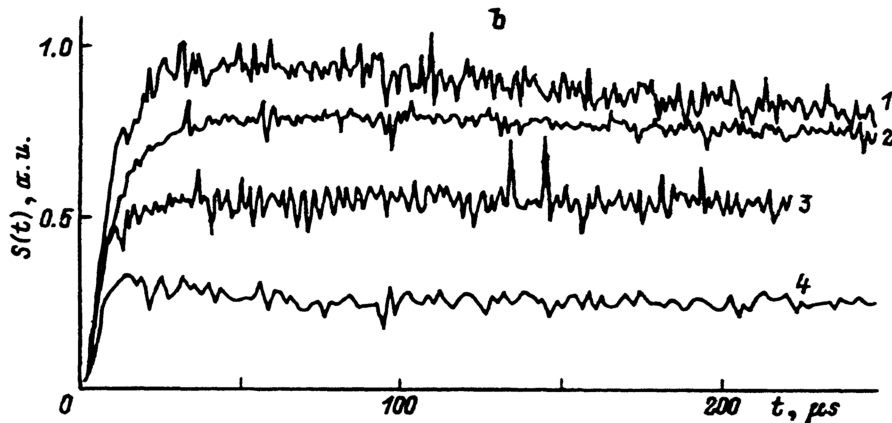


Рис. 2. а) Электронная фотография структуры скола образца керамики ВК98-1 (сапфирит-16). б) Сигналы фононной неравновесности в образце  $L = 1.55 \text{ mm}$ ,  $P < 10^{-1} \text{ W/mm}^2$ .

$T(K)$ : 1 — 3.82, 2 — 3.46, 3 — 2.6, 4 — 2.24.

Здесь  $V_s$  — средняя скорость фона,  $S$  — площадь поверхности зерна,  $\Sigma$  — общая площадь контакта,  $f_\omega$  — вероятность проникновения фонача частоты  $\omega$  через контактную площадку. Комбинируя (1) и (2), получаем

$$t_m \propto \frac{L^2}{V_s R} \frac{S}{\Sigma} \frac{1}{f_\omega}. \quad (3)$$

Используя результаты, представленные на рис. 1, б (полагая  $V_s \cong 5 \cdot 10^5 \text{ cm/s}$ ), получаем оценку эффективного значения коэффициента диффузии  $D_{\text{ef}} \cong 1 \div 2 \text{ cm}^2/\text{s}$ , что на четыре порядка меньше, чем, например, значение  $D$  в иттрий-алюминиевых гранатах с добавками ионов редких земель в качестве центров рассеяния [4]. Для отношения площади поверхности зерна  $S$  к «эффективной» площади контакт-

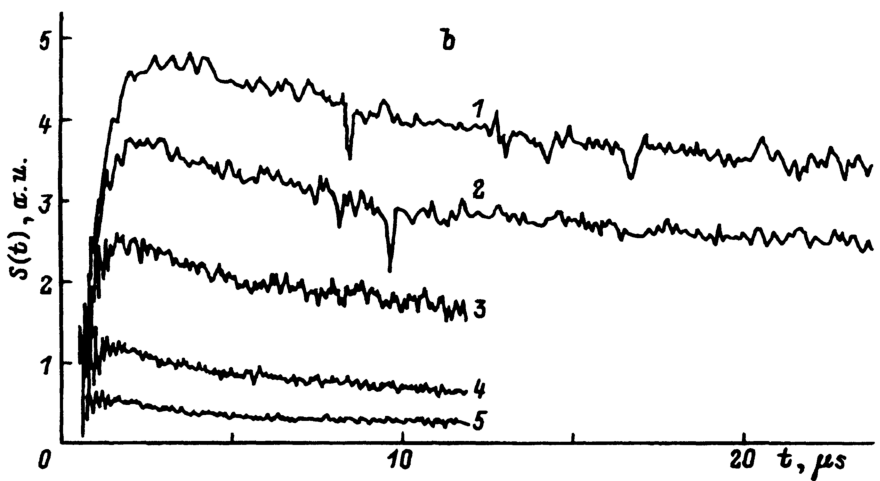
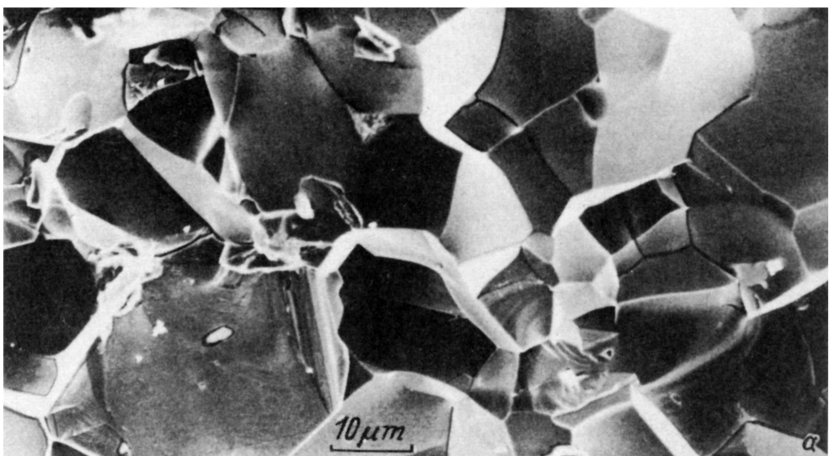


Рис. 3. a) Электронная фотография структуры скола образца керамики ВК100-1 (поликор). b) Сигналы фононной неравновесности в образце  $L = 1 \text{ mm}$ ,  $P < 10^{-1} \text{ W/mm}^2$ .  
 $T(\text{K})$ : 1 — 3.8, 2 — 3.42, 3 — 2.99, 4 — 2.55, 5 — 2.17.

ных площадок  $\Sigma f_\omega$ , через которые проходят фононы из зерна в зерно, имеем  $(S/\Sigma)f_\omega^{-1} \cong 3 \cdot 10^2$ , и, считая вероятность прохождения фонона при попадании на перемычку близкой к единице и число контактных зерен  $\cong 8 \div 10$ , для линейного размера контактной границы получаем  $r_0 \cong 150 \div 200 \text{ \AA}$ , что сравнимо с характерной длиной волны фононов для использованного интервала температур  $\lambda \cong 200 \text{ \AA}$ , т.е. действительно  $\lambda_{\text{ph}} \cong r_0$  и дифракционные эффекты могут проявляться при прохождении фононов через границу между зернами.<sup>1</sup>

<sup>1</sup> В общем случае движение фонона между зернами носит более сложный характер, особенно в керамике ВК94-1, где возможно наличие стеклофазы [3], влияющей

Рассмотрим рис. 2,*a,b*. Просматривается более плотная «упаковка» для основной массы зерен керамики, которые визуально больше напоминают кристаллиты с большими размерами границ. В то же время наблюдаются фрагменты, характерные для предыдущего случая. Оценки эффективного коэффициента диффузии из рис. 2,*b* дают значение  $D_{\text{ef}} \cong (3 \div 5) \cdot 10^2 \text{ см}^2/\text{s}$  для  $T \geq 3 \text{ К}$ . Для эффективной длины свободного пробега имеем  $l_{\text{ef}} \cong 10^{-3} \text{ см} \cong R$ , и фонон не тратит времени на поиск контактной площадки для выхода из зерна. Таким образом, действительно прохождение неравновесных фононов через межзервенные границы стало более эффективным. Оценки площади перемычек по (3) дают  $S/\Sigma \cong 1$ , т.е. контакт между зернами происходит по всей их площади, и использование предыдущей модели, строго говоря, некорректно. Рассмотрим зависимость сигнала болометра от температуры (рис. 2,*b*). При  $T \geq 3 \text{ К}$   $dt_m/dT < 0$ , как и для случая рис. 1,*b*, но условия дифракционного прохождения между зернами не выполняются. Кроме того, следует обратить внимание на то, что при  $T \leq 2.5 \text{ К}$  наряду с наблюдением зависимости  $dt_m/dT < 0$  при временах наблюдения ( $\sim 10 \div 20 \mu\text{s}$ ) появляется дополнительный максимум сигнала (кривая 4 на рис. 2,*b*). При измерении более коротких образцов ( $L = 0.05 \text{ см}$ ) для этого максимума во всем исследованном интервале температур  $dt_m/dT > 0$ , а на дальней части сигнала просматривается «обычный» максимум с  $dt_m/dT < 0$ . Таким образом, в керамике ВК98-1 реализуются два механизма прохождения фононов через границы с разными зависимостями коэффициентов прохождения от температуры.

Наиболее интересными оказались результаты для образцов из ВК100-1 (поликор). Эта керамика очень плотно упакована, отдельные зерна тесно прилегают друг к другу (рис. 3,*a*), и времена распространения инжектированных фононов очень короткие. На эту «быструю» керамику обратил наше внимание А.А. Каплянский (ФТИ им. А.Ф. Иоффе РАН), который из оптических экспериментов получил в этом материале неожиданно большую длину свободного пробега  $l \cong 10^{-2} \text{ см} \gg R$  для фононов с энергией  $\cong 40 \text{ К}$ . Из данных рис. 3,*b* при  $T = 3 \text{ К}$  мы получили для коэффициента диффузии значение  $D_{\text{ef}} \cong 5 \cdot 10^3 \text{ см}^2/\text{s}$  (что на порядок величины больше, чем для керамики ВК98-1) и величину длины свободного пробега  $\bar{l}_{\text{ef}} \propto D_{\text{ef}}/V_s \cong 10^{-2} \text{ см}$ . Таким образом, два независимых метода дают близкие значения для эффективной длины свободного пробега фононов, хотя их энергия различается примерно в три раза. Напомним, что максимум сигнала на болометре формируется фононами с энергией  $\cong 4kT_0$ , где  $T_0$  — температура термостата [4]. Зависимость положения максимума сигнала на болометре от температуры положительная, и, таким образом, в структуре этой керамики окончательно формируется зависимость  $dt_m/dT > 0$ , которая, согласно [1], может быть обусловлена наличием дефектов типа примесей и дислокаций в области межзеренных контактов. Если экстраполировать наши значения  $l_{\text{ef}}$  к энергиям  $\cong 40 \text{ К}$ , то различие между величинами  $l_{\text{ef}}$ , полученными нами из оптических экспериментов, может быть  $\cong 10$ . Вместе с тем следует помнить, что речь идет о сравнении значений, оцененных по порядку величины, а экстраполяция температурной зависимости, полученной в интервале  $T = 2.5 \div 3.8 \text{ К}$ , до  $42 \text{ К}$  может быть не вполне корректной.

---

на характер контактных границ. В рамках данной работы мы воздерживаемся от обсуждения этого вопроса.

В заключение отметим, что проведенные измерения распространения тепловых импульсов в ряде керамик на основе корунда показали очень сильную зависимость характеристик распространения неравновесных фонон от их состава. Наблюдается хорошая корреляция эксплуатационных характеристик этих материалов (см. таблицу) с данными наших измерений.

1) По мере роста содержания основного окисла  $\text{Al}_2\text{O}_3$  керамики становятся более плотными, сфероподобные зерна сменяются плотно прилегающими кристаллитами с контактными границами по всей их поверхности. Эти изменения качественно описывают трансформацию механических характеристик, представленных в таблице.

2) Четко прослеживается корреляция зависимости величины эффективного коэффициента диффузии от состава керамики с величинами теплопроводности при комнатной температуре. Следует обратить внимание на то, что если теплопроводность при комнатных температурах для исследованных составов меняется в два раза, то эффективный коэффициент диффузии в наших измерениях на три порядка величины. Таким образом, он более критичен к составу керамики и, возможно, методу ее изготовления. Поскольку коэффициент теплопроводности является одной из важнейших экспериментальных характеристик этих материалов, то исследования кинетики фонон в них могут быть использованы для обработки технологических процессов изготовления керамик.

В работе исследованы «быстрые» керамики, в которых обнаружены аномально большие длины свободного пробега фонон, объяснить которые в рамках обсуждаемой в [1] качественной модели движения фонон не представляется возможным. Вопросы прохождения фононами границ в таких керамиках требуют дополнительного изучения. В частности, представляется целесообразным измерение теплопроводности и теплоемкости указанного ряда керамик в области гелиевых температур.

Авторы выражают благодарность А.А. Каплянскому за полезные дискуссии и ознакомление с результатами работы до ее опубликования.

Работа выполнена при поддержке Российского фонда фундаментальных исследований (проект № 94-02-05504) и Международного научного фонда (грант N M9V000).

#### Список литературы

- [1] Иванов С.Н., Козорезов А.Г., Таранов А.В., Хазанов Е.Н. ЖЭТФ. **102**, 2, 600 (1992).
- [2] Иванов С.Н., Таранов А.В., Хазанов Е.Н. ЖЭТФ, **99**, 4, 1311 (1991).
- [3] Ерошев В.К., Козлов Ю.А., Павлова В.Д. Конструирование и технология изготовления паяных металлокерамических узлов. Справочные материалы. М. (1988).
- [4] Ivanov S.N., Khazanov E.N., Paszkiewicz, Taranov A.V., Wilczynski M. Z. Phys. To be published.